

長崎大学工学部 正会員 島山 駿
長崎大学工学部 正会員 の栗原和夫

1. まえがき 断面の高さや幅が部材の長さ方向に変化する、いわゆる変断面ばりの自由振動については、多くの理論的および実験的研究が行われてきている。変断面ばりの長さに比して断面の小ささで自由振動、つまり、Bernoulli-Euler の初等曲げ理論から導かれた振動方程式により、著者らの1人もさきの報告¹⁾にありて、境界条件のいかんにかかわらず、任意の階級を有する変断面ばりの任意次数の固有振動数を算定した。また、齊藤²⁾、佐藤³⁾は1回の断面意変部を有する片持ばりの自由振動を長方形断面について理論的および実験的に研究し、ばりの長さに比して厚さが小さく、低次数の範囲では、Bernoulli-Euler の振動方程式により十分正確に振動性状を解析しうることを明らかにしている。

変断面ばりの長さに比して断面が大きくなると、曲げモーメントの他に剪断力の影響を考え、往復運動の他にたわみ角による回転慣性を考慮したばりの振動つまり Timoshenko ばりの振動方程式により固有値を算定することが必要となる。一方、一様断面 Timoshenko ばりの振動については、多くの研究がありこれまで^{4), 5)}。変断面ばりにつりくは任意変断面の固有値にあらわす影響は著者の知りかぎりにありては十分に明らかにされなくなつようと思われる。

本報は Timoshenko ばりの振動方程式により任意の階級を有する変断面ばりの固有値を算定し、さきの報告と比較することにより、剪断力および回転慣性の影響を検討しようとするものである。

2. 基礎微分方程式 面端ばりの剪断变形を考慮に入れた基礎微分方程式は次式である。

$$\bar{M}(x) = -EI(x) \frac{d\bar{Q}}{dx} \quad (1-a) \quad \bar{Q}(x) = \frac{G}{k} A(x) \left(\frac{d\bar{u}}{dx} - \bar{u} \right) \quad (1-b)$$

$$\frac{d\bar{Q}}{dx} = -g(x) \quad (1-c) \quad \frac{d\bar{M}}{dx} = \bar{Q}(x) + m(x) \quad (1-d)$$

ただし $g(x)$, $m(x)$, $\bar{M}(x)$, $\bar{Q}(x)$, \bar{u} , $EI(x)$, $A(x)$, G , k はそれぞれ 荷重強度, モーメント荷重強度, 曲げモーメント剪断力, 曲げモーメントにともなうたわみ角, 曲げ剛性, 断面積, ばりの横弹性係数, ばりの剪断变形係数である。

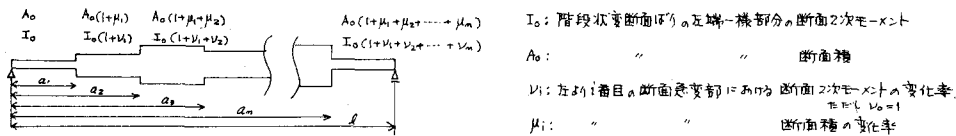


図-1. Stepped beam

I_0 : 階段状変断面ばりの左端-様部分の断面2次モーメント

A_0 : " " " 断面積

v_i : 左より*i*番目の断面意変部にあたる断面2次モーメントの変化率。
 $v_i = \frac{I_{i+1} - I_i}{I_i}$

μ_i : " " " 断面面積の変化率
 $\mu_i = \frac{A_{i+1} - A_i}{A_i}$

m : 断面意変部の係数。

3. 自由振動方程式 図-1のはりの単位体積当たりの質量を ρ_0 とすると、単位長さ当たりの質量 $\rho_0 A(x)$ は単位階段函数 $u(x-a_i)$ を用ひて $\rho_0 A(x) = \rho_0 A_0 \sum_{i=0}^m \mu_i u(x-a_i)$ と表わされる。また、はりの断面2次モーメントも同様に $I(x) = I_0 \sum_{i=0}^m v_i u(x-a_i)$ と表わされる。(ただし、自由振動中の階段状変断面ばりの单位長さ当たりの慣性力 $g(x)$ 、および回転慣性力 $m(x)$)

$$g(x) = -\rho_0 A_0 \sum_{i=0}^m \mu_i u(x-a_i) \frac{\partial^2 \bar{u}}{\partial x^2}, \quad m(x) = -\rho_0 I_0 \sum_{i=0}^m v_i u(x-a_i) \frac{\partial^2 \bar{u}}{\partial x^2} \quad \text{と表わされる。}$$

ゆえに、階段状変断面ばりの自由振動方程式は、減衰性を無視して次式となる

$$\bar{M}(x) = -EI_0 \sum_{i=0}^m v_i u(x-a_i) \frac{\partial \bar{Q}}{\partial x} \quad (2-a)$$

$$\bar{Q}(x) = \frac{G}{k} A_0 \sum_{i=0}^m \mu_i u(x-a_i) \left(\frac{\partial \bar{u}}{\partial x} - \bar{u} \right) \quad (2-b)$$

$$\frac{d\bar{Q}}{dx} = \rho_0 A_0 \sum_{i=0}^m \mu_i u(x-a_i) \frac{\partial^2 \bar{u}}{\partial x^2} \quad (2-c)$$

$$\frac{d\bar{M}}{dx} - \bar{Q} = -\rho_0 I_0 \sum_{i=0}^m v_i u(x-a_i) \frac{\partial^2 \bar{u}}{\partial x^2} \quad (2-d)$$

式(2-a)～(2-d)は次の各式

$$\bar{Y}(x,t) = Y^*(x)e^{i\omega t}, \bar{M}(x,t) = M^*(x)e^{i\omega t}, \bar{Q}(x,t) = Q^*(x)e^{i\omega t}, \bar{\Psi}(x,t) = \Psi^*(x)e^{i\omega t} \quad \text{E.F.L. } \omega: \text{固有円振動数}$$

を代入すれば、たわみ、曲げモーメント、剪断力および曲げモーメントによるたわみ角の基準函数 $Y^*(x)$, $M^*(x)$, $Q^*(x)$ および $\Psi^*(x)$ に関する連立方程式¹⁾をえる。さらに、変数 x を無次元変数 $\eta = \frac{x}{L}$ に置き換え $Y(\eta) = \frac{Y^*}{L}$, 誇量の剪断力を $M(\eta) = -\frac{f}{EI_0} M^*(\eta)$, $Q(\eta) = \frac{f}{EI_0} Q^*(\eta)$ と置けば、無次元化された基準函数 $Y(\eta)$, $M(\eta)$, $Q(\eta)$, $\Psi(\eta)$ に関する次式²⁾が導びかれる。

$$M(\eta) = \sum_{n=0}^{\infty} \mu_n U(\eta - \xi_n) \frac{dU}{d\eta} \dots (3-a) \quad Q(\eta) = \frac{a^2}{b^2} \sum_{n=0}^{\infty} \mu_n U(\eta - \xi_n) \left(\frac{dU}{d\eta} - \psi \right) \dots (3-b) \quad \text{E.F.L. } \lambda^4 = \frac{f A_0 \omega_0^2 L^4}{EI_0} \quad \eta = \frac{x}{L}$$

$$\frac{dU}{d\eta} + Q + \frac{a^2}{b^2} \sum_{n=0}^{\infty} \mu_n U(\eta - \xi_n) \psi = 0 \dots (3-c) \quad \frac{dQ}{d\eta} + \lambda^2 \sum_{n=0}^{\infty} \mu_n U(\eta - \xi_n) \psi = 0 \dots (3-d) \quad a^2 = \frac{A_0 L^2}{I_0} \quad b^2 = \frac{f E}{G I}$$

式 (3-a)～(3-d) は Laplace 変換を用いた函数 $Y(\eta)$, $M(\eta)$, $Q(\eta)$, $\Psi(\eta)$ を次式³⁾ である。

$$Y(\eta) = Z Y_1 M(\eta) + Z Y_2 Y(\eta) + Z Y_3 Q(\eta) + Z Y_4 \Psi(\eta) + \sum_{n=1}^{\infty} \left(H Y_5 M(\xi_n) + H Y_6 Y(\xi_n) + H Y_7 Q(\xi_n) + H Y_8 \Psi(\xi_n) \right) U(\eta - \xi_n) \quad (4-a)$$

$$M(\eta) = Z M_1 M(\eta) + Z M_2 Y(\eta) + Z M_3 Q(\eta) + Z M_4 \Psi(\eta) + \sum_{n=1}^{\infty} \left(H M_5 M(\xi_n) + H M_6 Y(\xi_n) + H M_7 Q(\xi_n) + H M_8 \Psi(\xi_n) \right) U(\eta - \xi_n) \quad (4-b)$$

$$Q(\eta) = Z Q_1 M(\eta) + Z Q_2 Y(\eta) + Z Q_3 Q(\eta) + Z Q_4 \Psi(\eta) + \sum_{n=1}^{\infty} \left(H Q_5 M(\xi_n) + H Q_6 Y(\xi_n) + H Q_7 Q(\xi_n) + H Q_8 \Psi(\xi_n) \right) U(\eta - \xi_n) \quad (4-c)$$

$$\Psi(\eta) = Z \Psi_1 M(\eta) + Z \Psi_2 Y(\eta) + Z \Psi_3 Q(\eta) + Z \Psi_4 \Psi(\eta) + \sum_{n=1}^{\infty} \left(H \Psi_5 M(\xi_n) + H \Psi_6 Y(\xi_n) + H \Psi_7 Q(\xi_n) + H \Psi_8 \Psi(\xi_n) \right) U(\eta - \xi_n) \quad (4-d)$$

式 (4-a)～(4-d) と境界条件より剪断面積の振動数方程式が求まる。

4. 數値計算および考察 図-2 は自由振動の固有値に対する回転慣性および剪断力の影響を示したもの。

これによれば、細長比 α が小さくなければそれだけ影響が大になり、断面変化率 μ_1 が大きくなるほど比例して影響も大になる。また一次固有値に比して2次から3次固有値に与える回転慣性および剪断力の影響は大になり1次固有値に比して2次から4倍、3次固有値は6倍となる。また細長比 α および断面変化率 μ_1 によって固有値に与える影響の多少の変化が生じる。つまり細長比の大小で断面変化率 μ_1 によって固有値に与える影響の多少の変化が生じる。

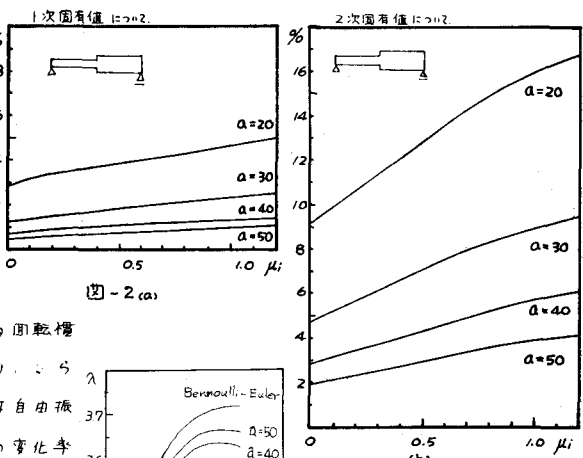
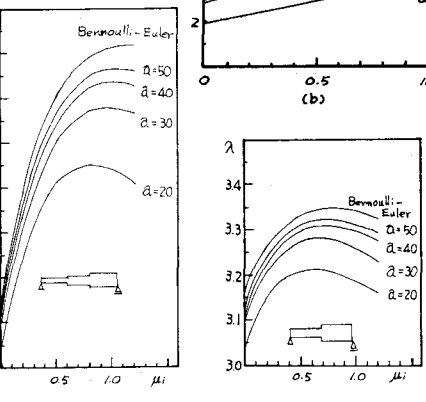


図-3 は自由振動の固有値を表したもの。これによれば、断面の変化率 μ_1 が増すにつれて固有値が低下する傾向がある。これは変化する断面部積が大きくなり両部分の剛性に著しい差が生じたためであろうと思われるがこの様な断面ばかりの振動モードを求め、さらに検討する必要がある。式 (4-a)～(4-d) より任意の断面を有するばかりの任意次数の固有振動数に対する回転慣性および剪断力の影響をもたらすことができる算定が可能である。数値計算は長崎大学 FACOM 270-30 によつてある。



- 参考文献 1) T. SAKIYAMA; An Analysis of Bending Vibrations of Nonuniform Beams, Theoretical and Applied Mechanics Vol. 23 1973.
 2) 齋藤、佐藤; 緊急断面を有する弾性ばりの振動, 日本機械学会論文集(第1部) 34巻 261号 S.43.5
 3) T.C. HUANG; The Effect of Rotatory Inertia and of Shear Deformation on the Frequency and Normal Mode Equations of Uniform Beams with Simple End Conditions, J.A.M., Dec 1961 4) S. チモシコ; 工業振動学, 昭和10年 1956.5